



زمین دما - فشارسنگی داسیت مارکوه (شمال شرق بیرجند) و برونبوم‌های آمفیبولیتی آن

محمدحسین یوسف زاده^{*}، مسیب سبزه ئی^۲

- ۱- گروه پژوهشی علوم زمین، دانشکده علوم، دانشگاه بیرجند، بیرجند، ایران.
 ۲- پژوهشکده علوم زمین، سازمان زمین‌شناسی و اکتشافات معدنی کشور، تهران، ایران.

(دریافت مقاله: ۹۰/۹/۶، نسخه نهایی: ۹۰/۱/۱۴)

چکیده: برونبوم‌های آمفیبولیتی فراوان‌ترین برونبوم گنبد داسیتی مارکوه واقع در شمال شرقی بیرجندند. این داسیت حاوی پلازیوکلаз، کوارتز، هورنبلند سبز، بیوتیت و مگنتیت و برونبوم‌های آمفیبولیتی دارای هورنبلندهای سبز و قهوه‌ای، پلازیوکلاز ± بیوتیت ± کوارتز ± پیروکسن هستند. برآرد دما و فشار بر پایهٔ مقدار Al موجود در آمفیبول‌ها نشان می‌دهد که هورنبلندهای سبز سنگ میزان در دمای $784\text{--}804^{\circ}\text{C}$ و فشار $5\text{--}6\text{ Kbar}$ و هورنبلندهای سبز و قهوه‌ای موجود در برونبوم آمفیبولیتی در دمای $777\text{--}845^{\circ}\text{C}$ و فشار $5\text{--}7.5\text{ Kbar}$ در عمق $20\text{--}30\text{ Km}$ تشکیل شده‌اند. دلیل گستردگی تر بودن گسترهٔ دما و فشار برای برونبوم نسبت به سنگ میزان، این است که برونبوم‌های آمفیبولیتی حاوی هورنبلند سبز و پلازیوکلاز نخست از دگرگونی دما جنبشی واحدهای بازی پی‌سنگ افیولیتی منطقه، در رخساره‌ی آمفیبولیت تشکیل شده‌اند. در ادامه با افزایش دما و فشار در اواخر این رخساره و اوایل رخساره‌ی گرانولیت هورنبلند سبز به هورنبلند قهوه‌ای تبدیل، پلازیوکلازها کلسیم دارتر شدند، حتی کلینوپیروکسن هم به وجود آمده است. در نهایت، با سقوط آمفیبولیت‌های وابسته به پی‌سنگ منطقه به داخل مagma، جائی که شرایط برای تشکیل هورنبلند سبز در سنگ میزان فراهم بوده، هورنبلندهای قهوه‌ای برونبوم نیز دوباره به هورنبلند سبز تبدیل شده‌اند. نتایج آنالیز نقطه‌ای و شواهد میکروسکوپی تأیید کننده این فرایند است. پلازیوکلازهای برونبوم‌ها نسبت به پلازیوکلازهای داسیت کلسیم دارند.

واژه‌های کلیدی: زمین دما - فشارسنگی، داسیت، آمفیبولیت، برونبوم، بیرجند.

که در اواخر کرتاسه [۴] همزمان با بسته شدن حوضه‌ی اقیانوسی بین بلوك لوت و بلوك افغان دستخوش دگرگونی دما جنبشی شده‌اند. معمولاً به دلیل طولانی نبودن فاصله‌ی زمانی بین سقوط برونبوم‌ها به داخل magma، فوران، تعادلی در ترکیب شیمیایی و کانی‌شناسی آن‌ها صورت نخواهد گرفت. بنابراین، برونبوم‌ها اطلاعات مفیدی را در خصوص تاریخچه‌ی تشکیل خود و مagma میزان، فراهم می‌کند [۵]. در همین

مقدمه

گنبد داسیتی مارکوه در شمال شرق بیرجند در گستره‌ای با مشخصات $20^{\circ}\text{--}59^{\circ}$ طول شرقی و $32^{\circ}\text{--}57^{\circ}$ عرض شمالی قرار گرفته است (تصویر ۱) [۱]. این داسیت به ترشیری وابسته بوده و دارای برونبوم‌های متنوع آمفیبولیتی، متاپلیتی و گنیسی است [۳، ۲]. برونبوم‌های یادشده بقایای پی‌سنگ افیولیتی و متافلیش‌های کرتاسه و پالئوسن منطقه هستند [۲]

* نویسنده مسئول، تلفن: ۰۹۱۵۳۶۲۰۱۱۸، نمبر: ۰۵۶۱ (۲۵۰۲۵۱۵)، پست الکترونیکی: mhyousefzadeh@yahoo.com

ایلمنیت به صورت بلورهای ریز نیمه شکل‌دار دیده می‌شوند (تصویر ۲ الف).

بلورهای شکل‌دار و نیمه شکل‌دار هورنبلندهای سبز و قهوه‌ای، فراوان ترین برونویوم‌های آمفیبولیتی را تشکیل می‌دهند (تصویر ۳ الف و ب). داده‌های تجزیه‌ای، ترکیب ادنیت هورنبلندها، پارگازیت هورنبلندها آهن‌دار و ادنیت را برای این آمفیبولها نشان می‌دهند (نمودارهای ۱ ب و ۲ الف). بلورهای نیمه شکل‌دار میکا در گستره‌ی ترکیبی آنیت (بیوتیت غنی از منیزیم) فلوگوپیت (نمودار ۱ پ و ۲ ب)، بلورهای نیمه شکل‌دار پلاژیوکلاز در گستره‌ی ترکیبی اواسط آندزین تا اوایل بیتونیت (نمودار ۱ الف و ۲ پ) و بلورهای شکل‌دار کلینوپیروکسن در گستره‌ی ترکیبی دیوپسید (نمودار ۲ ت) قرار می‌گیرند [۲،۳]. هورنبلندها و بیوتیت‌های دارای کناره‌های اپاسیتی غنی از اکسیدهای آهن (مگنتیت) هستند. ولی برخی از نمونه‌ها دارای کوارتز نیز می‌باشند. بافت اصلی این بیگانه سنگ‌ها، گرانوبلاستیک است (تصویر ۳). پاراژنر یادشده به ویژه حضور کلینوپیروکسن با هورنبلندهای قهوه‌ای فراوان، نشان می‌دهد که درجه‌ی دگرگونی دماجنبشی این برونویوم‌ها اواخر رخساره‌ی آمفیبولیت و مرز آن با رخساره‌ی گرانولیت است، به نحوی که با افزایش دما، Fe^{+2} موجود در هورنبلندها سبز به Fe^{+3} تبدیل و هورنبلندهای قهوه‌ای تشکیل شده است [۱۱]. مقایسه‌ی برونویوم‌های یاد شده با [۱۲،۱۳] که برای همیافت منطقه بروکن هیل در نیوسات ولز استرالیا یک دنباله‌ی منطقه‌ای ارائه کرده و تحول تدریجی از رخساره‌ی آمفیبولیت به گرانولیت را با سه منطقه‌ی A (رخساره‌ی آمفیبولیت)، B (زون حدوداً میانی) و C (رخساره‌ی گرانولیت) نشان داده و برابر [۱۴]، معلوم می‌شود که برونویوم‌های منطقه تا حد اوایل رخساره‌ی گرانولیت دگرگون شده‌اند. هر چند در آن، تعداد برونویوم‌های مارکوه بررسی شده گارتنت مشاهده نشد، ولی این به معنی عدم وجود آن به صورت مطلق نیست، به ویژه که در برونویوم‌های موجود در منطقه خوسف که در فاصله‌ی نسبتاً نزدیکی وجود دارند گارتنت یافت شده است [۲]. پیدایش دوباره‌ی هاله‌ای از هورنبلندهای سبز پیرامون هورنبلندهای قهوه‌ای ناشی از رخداد یک دگرگونی مجاورتی در دمای پائین‌تر است.

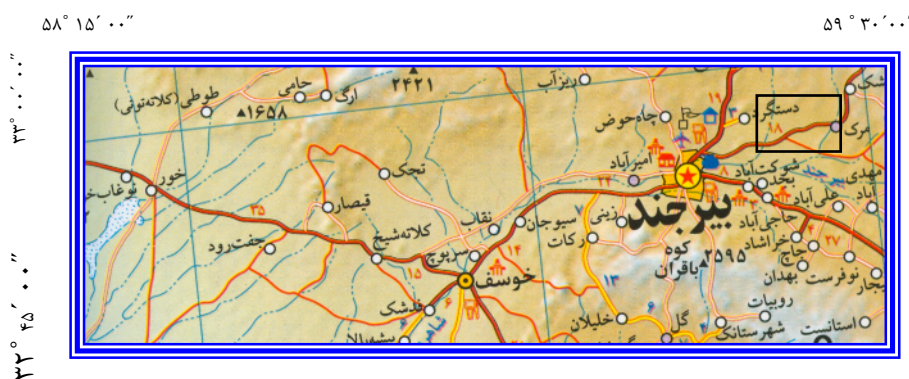
راستا و با توجه به فراوانی برونویوم‌ها در این گنبد، بر آن شدید پس از بررسی کانی‌شناسی، سنجنگاری و مقایسه‌ی شیمی کانی‌های متتشکله آن‌ها و سنگ میزبان که منتج به اثبات برونویوم بودن و عدم ارتباط ژنتیکی اولیه آن‌ها با سنگ میزبان شد [۳]، در این پژوهش، دما و فشار تشکیل آن‌ها را محاسبه و با سنگ میزبان مقایسه کنیم و از عمق تشکیل آن‌ها و تغییرات احتمالی بعدی که تحت تأثیر گرمای ماگما رخ داده، است برآورده داشته باشیم.

روش بررسی

در راستای این کار پژوهشی، نخست ضمن کاوش‌های صحرائی، نمونه‌برداری کاملی از سنگ‌های آتشفسانی ترشیری مارکوه و برونویوم‌های آن انجام داریم. سپس مقاطع نازک میکروسکوپی زیادی تهیه و ویژگی‌های کانی‌شناسی و بافتی آن‌ها به وسیله‌ی یک میکروسکوپ قطبشی نوع لایتس بررسی شدند. برای شناسایی نوع و ترکیب شیمیائی کانی‌ها، با همکاری دکتر گیلز دروب در دانشگاه منچستر انگلستان، دوباره آن مقاطع نازک میکروسکوپی بررسی و سپس آنالیز منطقه‌ای به روش EPMA روی کانی‌های وابسته به یک داسیت و دو برونویوم آن، انجام گرفت که نتایج آن در جدول‌های ۱ و ۲ ارائه شده‌اند. برای نام گذاری دقیق کانی‌ها برنامه‌ی Min Pet به کار گرفته شد و درستی کارهای میکروسکوپی در شناسایی کانی‌ها به ویژه نوع هورنبلندهای سبز و قهوه‌ای تأیید شد [۳،۲]. در پایان، دما بر اساس روش [۶] و فشار بر اساس روش [۷] اندازه‌گیری شدند.

بحث و بررسی

بافت اصلی داسیت مارکوه پورفیری با خمیره‌ی ریز دانه‌ای است. درشت بلورهای شکل‌دار با منطقه‌بندی نوسانی پلاژیوکلاز (اولیگوکلاز و آندزین) شاخص‌ترین کانی آن است (تصویر ۲ الف) (نمودار ۱ الف). درشت بلورهای گرد و با کناره‌های خلیجی کوارتز نیز، به فراوانی یافت می‌شوند. مهم‌ترین کانی‌های فرومینیزین این سنگ‌ها بلورهای شکل‌دار و نیمه شکل‌دار عبارتند از هورنبلندهای سبز و بیوتیت (تصویر ۲ الف). هورنبلندهای در بخش بالائی این گستره ترکیبی ادنیت هورنبلندهای (نمودار ۱ ب) و بیوتیت در گستره‌ی ترکیبی آنیت و متمايل به فلوگوپیت (نمودار ۱ ب) قرار می‌گيرند. بلورهای ریز فلدسپار پتاسیم نیز در این سنگ‌ها وجود دارند. کانی‌های کدر شامل مگنتیت و



تصویر ۱ نقشه‌ی راههای ارتباطی منطقه‌ی [۱]. مقیاس: ۲۰ Km

جدول ۱ نتایج آنالیز نقطه‌ای آمفیبولهای موجود در داسیت مارکوه.

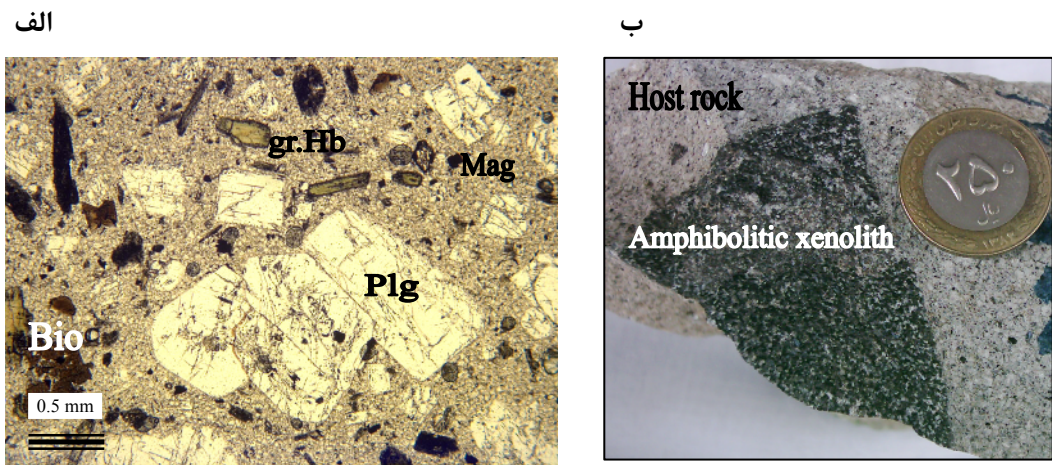
نمونه	۷۶۵	۷۶۵	۷۶۵	۷۶۵	۷۶۵	۷۶۵
نقطه تجزیه شده	۱۸Hbl	۱۹Hbl	۲۰Hbl	۲۱Hbl	۲۲Hbl	۲۳Hbl
کانی	هورنبلند	هورنبلند	هورنبلند	هورنبلند	هورنبلند	هورنبلند
موقعیت	کناره	مرکز	مرکز	کناره	مرکز	مرکز
<i>SiO₂</i>	۴۵,۳۶	۴۶,۰۰	۴۶,۰۶	۴۵,۸۵	۴۵,۶۷	۴۵,۳۲
<i>TiO₂</i>	۲,۰۹	۱,۸۱	۱,۷۳	۱,۹۲	۱,۱۹	۱,۷۲
<i>Al₂O₃</i>	۱۰,۸۳	۱۰,۵۰	۱۰,۲۴	۱۰,۱۶	۱۰,۶۰	۱۱,۲۰
<i>Cr₂O₃</i>	۰,۰۰	۰,۰۰	۰,۰۰	۰,۰۰	۰,۰۰	۰,۰۰
<i>Fe₂O₃</i>	۳,۴۸	۳,۸۳	۳,۴۲	۲,۸۲	۵,۱۴	۳,۶۳
<i>FeO</i>	۵,۲۶	۴,۸۱	۴,۶۶	۶,۴۹	۶,۰۳	۵,۲۱
<i>MnO</i>	۰,۱۱	۰,۱۱	۰,۰۷	۰,۱۱	۰,۱۳	۰,۱۳
<i>MgO</i>	۱۶,۷۹	۱۷,۱۸	۱۷,۳۸	۱۶,۳۴	۱۵,۷۵	۱۶,۶۵
<i>CaO</i>	۱۰,۸۸	۱۰,۸۸	۱۱,۱۰	۱۱,۰۵	۱۰,۶۷	۱۰,۸۳
<i>Na₂O</i>	۲,۵۷	۲,۵۴	۲,۳۷	۲,۵۸	۲,۱۱	۲,۷۶
<i>K₂O</i>	۰,۸۴	۰,۷۲	۰,۷۶	۰,۷۲	۰,۳۶	۰,۶۲
<i>Total</i>	۹۸,۱۹	۹۸,۳۸	۹۷,۷۸	۹۸,۰۳	۹۷,۶۶	۹۸,۰۶
<i>Formula (corr.)</i>	(O)۲۳	(O)۲۳	(O)۲۳	(O)۲۳	(O)۲۳	(O)۲۳
<i>Si</i>	۶,۴۷۵	۶,۵۳۵	۶,۵۷۱	۶,۵۷۴	۶,۵۶۴	۶,۴۷۱
<i>Ti</i>	۰,۲۲۴	۰,۱۹۳	۰,۱۸۶	۰,۲۰۷	۰,۱۲۹	۰,۱۸۴
<i>Al</i>	۱,۸۲۱	۱,۷۵۸	۱,۷۲۱	۱,۷۱۷	۱,۷۹۶	۱,۸۸۴
<i>Cr</i>	۰,۰۰۰	۰,۰۰۰	۰,۰۰۰	۰,۰۰۰	۰,۰۰۰	۰,۰۰۰
<i>Fe³⁺</i>	۰,۳۷۴	۰,۴۰۹	۰,۳۶۷	۰,۳۰۴	۰,۵۵۶	۰,۳۹۰
<i>Fe²⁺</i>	۰,۶۲۸	۰,۵۷۱	۰,۵۵۶	۰,۷۷۹	۰,۷۲۵	۰,۶۲۲
<i>Mn</i>	۰,۰۱۴	۰,۰۱۳	۰,۰۰۹	۰,۰۱۳	۰,۰۱۶	۰,۰۱۵
<i>Mg</i>	۳,۵۷۲	۳,۶۳۹	۳,۶۹۶	۳,۴۹۳	۳,۳۷۵	۳,۵۴۵
<i>Ca</i>	۱,۶۶۴	۱,۶۵۶	۱,۶۹۷	۱,۶۹۷	۱,۶۴۳	۱,۶۵۶
<i>Na</i>	۰,۷۱۲	۰,۷۰۰	۰,۶۵۶	۰,۷۱۶	۰,۵۸۸	۰,۷۶۵
<i>K</i>	۰,۱۵۲	۰,۱۳۱	۰,۱۳۹	۰,۱۳۱	۰,۰۶۶	۰,۱۱۳
<i>Total</i>	۱۵,۶۳۶	۱۵,۶۰۴	۱۵,۵۹۷	۱۵,۶۳۲	۱۵,۴۵۸	۱۵,۶۴۶

**جدول ۲ نتایج آنالیز نقطه‌ای آمفیبول‌های موجود در برونبوم
آمفیبولیتی.**

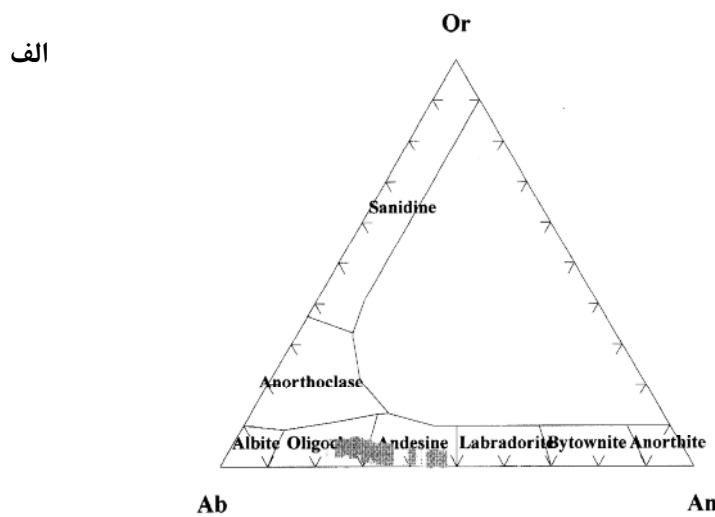
نمونه	۷۶۵	۷۶۵	۷۶۵	۷۶۵	۷۶۵	۷۶۵	نقطه تجزیه شده	۱	۲	۳	۴	۵	۶
کانی	Hbl۷	Hbl۸	Hbl۹	Hbl۱۰	Hbl۱۱	Hbl۱۲	کانی	Hbl	Hbl	Hbl	Hbl	Hbl	Hbl
نقطه تجزیه شده	هورنبلند	هورنبلند	هورنبلند	هورنبلند	هورنبلند	هورنبلند	هورنبلند	هورنبلند	هورنبلند	هورنبلند	هورنبلند	هورنبلند	هورنبلند
موقعیت	مرکز قوهای	مرکز قوهای	مرکز سبز	مرکز مرکز	مرکز	مرکز	مرکز قوهای	مرکز سبز	مرکز قوهای	مرکز سبز	مرکز قوهای	مرکز سبز	کلار سبز
<i>SiO₂</i>	۴۴,۹۵	۴۵,۴	۴۵,۵۸	۴۴,۴۸	۴۳,۹۳	۴۷,۵۸	<i>SiO₂</i>	۴۲,۶۸	۴۴,۰	۴۵,۴۵	۴۴,۸۳	۴۵,۴۰	
<i>TiO₂</i>	۱,۱۶	۱,۱۴	۰,۹۹	۰,۷۲	۰,۷۷	۱,۰۴	<i>TiO₂</i>	۰,۶۵	۰,۷۵	۱,۱۶	۰,۹۷	۱,۰۰	۱,۱۳
<i>Al₂O₃</i>	۱۱,۵۸	۱۱,۴۰	۱۱,۲۸	۱۲,۲۶	۱۲,۰۲	۹,۷۱	<i>Al₂O₃</i>	۱۱,۹۴	۱۱,۶۸	۱۰,۸۶	۱۱,۵۵	۱۱,۷۷	
<i>Cr₂O₃</i>	۰,۰۱	۰,۰۰	۰,۰۲	۰,۰۶	۰,۰۹	۰,۰۴	<i>Cr₂O₃</i>	۰,۱۱	۰,۰۴	۰,۰۲	۰,۰۱	۰,۰۰	
<i>Fe₂O₃</i>	۱,۳۰	۱,۵۹	۱,۲۴	۰,۹۶	۰,۸۸	۰,۷۲	<i>Fe₂O₃</i>	۱,۵۱	۱,۴۰	۱,۳۱	۱,۷۰	۱,۶۱	۱,۴۹
<i>FeO</i>	۱۲,۷۷	۱۲,۴۳	۱۲,۷۰	۱۳,۰۳	۱۳,۱۳	۱۱,۸۳	<i>FeO</i>	۱۲,۳۵	۱۲,۹۱	۱۲,۹۰	۱۲,۲۲	۱۲,۳۵	۱۲,۲۱
<i>MnO</i>	۰,۲۷	۰,۲۴	۰,۲۷	۰,۲۹	۰,۲۸	۰,۲۶	<i>MnO</i>	۰,۲۹	۰,۲۷	۰,۲۸	۰,۲۹	۰,۲۹	۰,۳۰
<i>MgO</i>	۱۲,۰۰	۱۲,۲۳	۱۲,۱۶	۱۱,۶۷	۱۱,۵۲	۱۲,۳۷	<i>MgO</i>	۱۱,۷۱	۱۱,۵۸	۱۱,۹۵	۱۲,۲۵	۱۲,۰۵	۱۲,۳۷
<i>CaO</i>	۱۱,۵۳	۱۱,۴۱	۱۱,۵۵	۱۱,۵	۱۱,۴۴	۱۱,۶۵	<i>CaO</i>	۱۱,۴۹	۱۱,۶۱	۱۱,۶۱	۱۱,۴۱	۱۱,۵۲	۱۱,۵۵
<i>Na₂O</i>	۲,۳۹	۲,۳۹	۲,۲۸	۲,۶۵	۲,۶۶	۲,۳۰	<i>Na₂O</i>	۲,۳۴	۲,۲۳	۲,۲۸	۱,۹۸	۲,۱۲	۲,۲۶
<i>K₂O</i>	۰,۵۵	۰,۵۹	۰,۵۹	۰,۶۳	۰,۶۴	۰,۳۳	<i>K₂O</i>	۰,۷۱	۰,۵۵	۰,۵۳	۰,۷۱	۰,۶۵	۰,۴۷
Total	۹۸,۵۱	۹۸,۴۷	۹۸,۶۵	۹۸,۲۵	۹۷,۳۶	۹۸,۸۴	Total	۹۶,۹۵	۹۷,۰۲	۹۸,۴۲	۹۷,۸۴	۹۷,۹۹	۹۸,۴۴
Formula (corr.)	۲۲(O)	۲۲(O)	۲۲(O)	۲۲(O)	۲۲(O)	۲۲(O)	Formula (corr.)	(O)۲۲	(O)۲۲	(O)۲۲	(O)۲۲	(O)۲۲	(O)۲۲
Si	۶,۵۶۸	۶,۵۷۸	۶,۵۳۸	۶,۵۲۸	۶,۵۱۸	۶,۸۵۱	Si	۶,۵۰۳	۶,۵۴۴	۶,۵۸۵	۶,۶۶۷	۶,۵۷۷	۶,۶۱۵
Ti	۰,۱۲۸	۰,۱۲۵	۰,۱۰۸	۰,۱۰۸	۰,۱۰۸	۰,۱۱۳	Ti	۰,۰۷۳	۰,۰۸۴	۰,۱۲۷	۰,۱۰۶	۰,۱۱۰	۰,۱۲۴
Al	۱,۹۹۴	۱,۹۶۲	۱,۹۳۶	۲,۱۲۰	۲,۱۰۱	۱,۶۴۸	Al	۲,۰۹۵	۲,۰۷۴	۱,۹۶۳	۱,۸۷۸	۱,۹۹۷	۱,۹۳۵
Cr	۰,۰۰۲	۰,۰۰۰	۰,۰۰۲	۰,۰۰۷	۰,۰۱۱	۰,۰۰۵	Cr	۰,۰۱۳	۰,۰۰۵	۰,۰۰۳	۰,۰۰۱	۰,۰۰۰	
<i>Fe³⁺</i>	۰,۱۴۳	۰,۱۷۵	۰,۱۳۶	۰,۱۰۶	۰,۰۹۸	۰,۰۷۸	<i>Fe³⁺</i>	۰,۱۶۹	۰,۱۵۶	۰,۱۴۴	۰,۱۸۷	۰,۱۷۸	۰,۱۶۳
<i>Fe²⁺</i>	۱,۵۶۰	۱,۵۱۸	۱,۵۴۹	۱,۵۹۹	۱,۶۳۰	۱,۴۲۵	<i>Fe²⁺</i>	۱,۵۶۰	۱,۶۰۶	۱,۵۷۹	۱,۵۰۰	۱,۵۱۵	۱,۴۸۸
Mn	۰,۰۳۳	۰,۰۳۰	۰,۰۳۳	۰,۰۳۶	۰,۰۳۵	۰,۰۳۲	Mn	۰,۰۳۷	۰,۰۳۵	۰,۰۳۵	۰,۰۳۷	۰,۰۳۶	۰,۰۳۷
Mg	۲,۶۱۳	۲,۶۹۲	۲,۶۹۹	۲,۵۵۲	۲,۵۴۹	۲,۸۷۰	Mg	۲,۵۹۹	۲,۵۶۸	۲,۶۰۶	۲,۶۷۸	۲,۶۳۶	۲,۶۸۶
Ca	۱,۸۰۵	۱,۷۸۵	۱,۸۰۲	۱,۸۰۹	۱,۸۱۹	۱,۷۹۷	Ca	۱,۸۳۲	۱,۸۵۰	۱,۸۲۰	۱,۷۹۳	۱,۸۱۱	۱,۸۰۴
Na	۰,۶۷۷	۰,۶۷۷	۰,۶۴۲	۰,۷۵۴	۰,۷۶۶	۰,۶۴۲	Na	۰,۶۷۵	۰,۶۴۲	۰,۶۴۶	۰,۶۶۲	۰,۶۰۴	۰,۶۳۹
K	۰,۱۰۳	۰,۱۱۱	۰,۱۰۹	۰,۱۱۷	۰,۱۲۱	۰,۱۰۱	K	۰,۱۲۵	۰,۱۰۴	۰,۰۹۹	۰,۱۳۲	۰,۱۲۲	۰,۰۸۶
Total	۱۵,۶۲۵	۱۵,۶۲۲	۱۵,۵۹۳	۱۵,۷۱۰	۱۵,۷۲۴	۱۵,۵۴۳	Total	۱۵,۶۹۱	۱۵,۶۴۱	۱۵,۶۰۵	۱۵,۵۴۱	۱۵,۵۸۸	۱۵,۵۷۶

ادامه جدول ۲

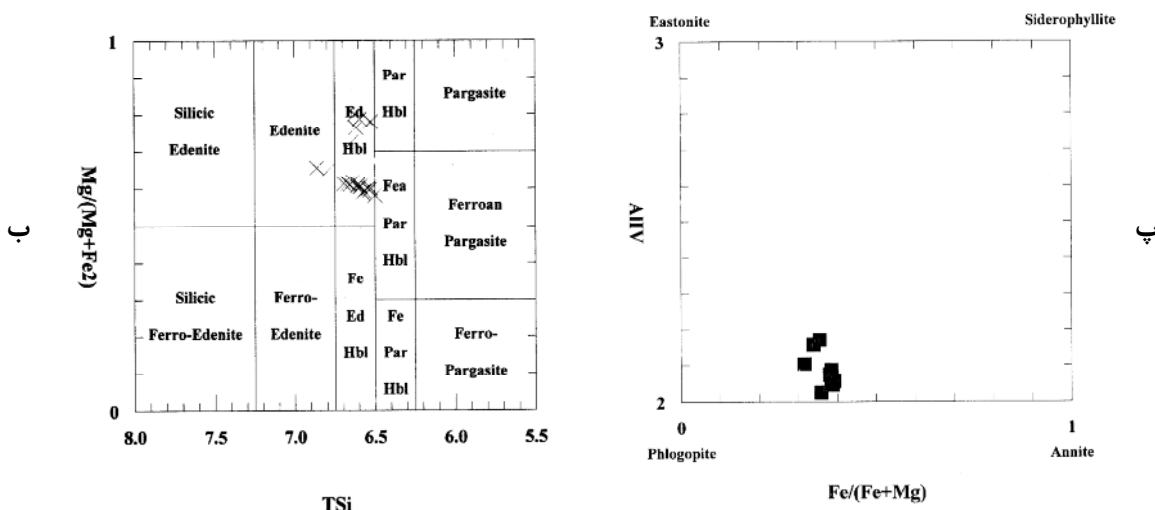
نمونه	۷۶۵	۷۶۵	۷۶۵	۷۶۵	۷۶۵	۷۶۵	نقطه آنالیز شده	۱	۲	۳	۴	۵	۶
کانی	Hbl۱۳	Hbl۱۴	Hbl۱۵	Hbl۱۶	Hbl۱۷		کانی	Hbl	Hbl	Hbl	Hbl	Hbl	Hbl
موقعیت	هورنبلند	هورنبلند	هورنبلند	هورنبلند	هورنبلند	هورنبلند	مرکز قوهای	کله سبز	مرکز قوهای				
<i>SiO₂</i>	۴۷,۰۷	۴۵,۱۵	۴۴,۶	۴۵,۲۸	۴۵,۴۲		<i>SiO₂</i>	۴۷,۰	۴۵,۱	۴۴,۵	۴۴,۷	۴۴,۹	
<i>TiO₂</i>	۰,۹۵	۰,۸۴	۰,۸۹	۱,۲۷	۱,۰۹		<i>TiO₂</i>	۰,۹۵	۰,۸۴	۰,۸۷	۰,۸۷	۰,۸۷	
<i>Al₂O₃</i>	۱۰,۳۹	۱۲,۸۹	۱۲,۵۸	۱۱,۵۵	۱۱,۰۷		<i>Al₂O₃</i>	۱۰,۳۹	۱۲,۸۹	۱۲,۵۸	۱۱,۵۵	۱۱,۰۷	
<i>Cr₂O₃</i>	۰,۰۱	۰,۰۶	۰,۰۵	۰,۰۳	۰,۰۱		<i>Cr₂O₃</i>	۰,۰۱	۰,۰۶	۰,۰۵	۰,۰۳	۰,۰۱	
<i>Fe₂O₃</i>	۰,۹۷	۰,۹۷	۱,۰۶	۱,۰۶	۱,۰۶		<i>Fe₂O₃</i>	۰,۹۷	۰,۹۷	۱,۰۶	۱,۰۶	۱,۰۶	
<i>FeO</i>	۱۱,۸۷	۱۳,۰۶	۱۳,۰۹	۱۲,۸۰	۱۲,۶۶		<i>FeO</i>	۱۱,۸۷	۱۳,۰۶	۱۳,۰۹	۱۲,۸۰	۱۲,۶۶	
<i>MnO</i>	۰,۲۵	۰,۲۶	۰,۲۷	۰,۳۰	۰,۲۹		<i>MnO</i>	۰,۲۵	۰,۲۶	۰,۲۷	۰,۳۰	۰,۲۹	
<i>MgO</i>	۱۳,۱۲	۱۱,۲۴	۱۱,۲۲	۱۱,۲۲	۱۱,۹۸		<i>MgO</i>	۱۳,۱۲	۱۱,۲۴	۱۱,۲۲	۱۱,۹۸	۱۱,۷۸	
<i>CaO</i>	۱۱,۵۷	۱۱,۲۳	۱۱,۵۱	۱۱,۴۷	۱۱,۴۴		<i>CaO</i>	۱۱,۵۷	۱۱,۲۳	۱۱,۵۱	۱۱,۴۷	۱۱,۴۴	
<i>Na₂O</i>	۲,۳۳	۲,۴۷	۲,۳۶	۲,۴۴	۲,۴۴		<i>Na₂O</i>	۲,۳۳	۲,۴۷	۲,۳۶	۲,۴۴	۲,۴۴	
<i>K₂O</i>	۰,۴۶	۰,۴۳	۰,۵۱	۰,۵۱	۰,۵۴		<i>K₂O</i>	۰,۴۶	۰,۴۳	۰,۵۱	۰,۵۱	۰,۵۴	
Total	۹۸,۹۴	۹۸,۷۹	۹۸,۲۶	۹۸,۲۶	۹۸,۶۹		Total	۹۸,۹۴	۹۸,۷۹	۹۸,۲۶	۹۸,۶۹	۹۸,۷۸	
Formula (corr.)	۲۲(O)	۲۲(O)	۲۲(O)	۲۲(O)	۲۲(O)		Formula (corr.)	(O)۲۲	(O)۲۲	(O)۲۲	(O)۲۲	(O)۲۲	
Si	۶,۷۸۲	۶,۵۶۲	۶,۴۷۳	۶,۴۹۵	۶,۴۹۷		Si	۶,۷۸۲	۶,۵۶۲	۶,۴۷۳	۶,۴۹۵	۶,۴۹۷	
Ti	۰,۱۰۳	۰,۰۹۲	۰,۰۹۸	۰,۱۳۹	۰,۱۲۰		Ti	۰,۱۰۳	۰,۰۹۲	۰,۰۹۸	۰,۱۳۹	۰,۱۲۰	
Al	۱,۷۶۴	۲,۲۰۹	۲,۱۷۹	۱,۹۸۲	۱,۹۰۹		Al	۱,۷۶۴	۲,۲۰۹	۲,۱۷۹	۱,۹۸۲	۱,۹۰۹	
Cr	۰,۰۰۱	۰,۰۰۷	۰,۰۰۵	۰,۰۰۳	۰,۰۰۱		Cr	۰,۰۰۱	۰,۰۰۷	۰,۰۰۵	۰,۰۰۳	۰,۰۰۱	
<i>Fe³⁺</i>	۰,۱۰۲	۰,۱۰۶	۰,۱۷۲	۰,۱۱۶	۰,۱۴۶		<i>Fe³⁺</i>	۰,۱۰۲	۰,۱۰۶	۰,۱۷۲	۰,۱۱۶	۰,۱۴۶	
<i>Fe²⁺</i>	۱,۴۳۰	۱,۵۸۷	۱,۶۰۸	۱,۵۵۹	۱,۵۲۵		<i>Fe²⁺</i>	۱,۴۳۰	۱,۵۸۷	۱,۶۰۸	۱,۵۵۹	۱,۵۲۵	
Mn	۰,۰۳۰	۰,۰۳۲	۰,۰۳۴	۰,۰۳۷	۰,۰۳۶		Mn	۰,۰۳۰	۰,۰۳۲	۰,۰۳۴	۰,۰۳۷	۰,۰۳۶	
Mg	۲,۸۱۷	۲,۴۳۵	۲,۴۸۰	۲,۶۰۱	۲,۶۵۸		Mg	۲,۸۱۷	۲,۴۳۵	۲,۴۸۰	۲,۶۰۱	۲,۶۵۸	
Ca	۱,۷۸۵	۱,۷۴۹	۱,۸۱۲	۱,۷۹۰	۱,۷۹۴		Ca	۱,۷۸۵	۱,۷۴۹	۱,۸۱۲	۱,۷۹۰	۱,۷۹۴	
Na	۰,۶۵	۰,۶۹۵	۰,۶۷۲	۰,۶۸۹	۰,۶۳۸		Na	۰,۶۵	۰,۶۹۵	۰,۶۷۲	۰,۶۸۹	۰,۶۳۸	
K	۰,۱۰۴	۰,۱۱۶	۰,۱۰۸	۰,۱۰۵	۰,۱۰۱		K	۰,۱۰۴	۰,۱۱۶	۰,۱۰۸	۰,۱۰۵	۰,۱۰۱	
Total	۱۵,۵۴۹	۱۵,۵۹۱	۱۵,۶۴۱	۱۵,۶۰۷	۱۵,۵۷۴		Total	۱۵,۵۴۹	۱۵,۵۹۱	۱۵,۶۴۱	۱۵,۶۰۷	۱۵,۵۷۴	



تصویر ۲ درشت بلورهای پلازیوکلاز و هورنبلند سبز دو تشکیل دهنده اصلی داسیت با بافت پورفیری (الف) و برونبومهای آمفیبولیتی موجود در آن (ب).



نمودار ۱ (الف) گستره‌ی ترکیبی پلازیوکلازهای موجود در داسیت مارکوه و برونبوم کوارتز آمفیبولیتی آن (نمونه ۷۶۵)، در نمودار *Or-Ab-An*.

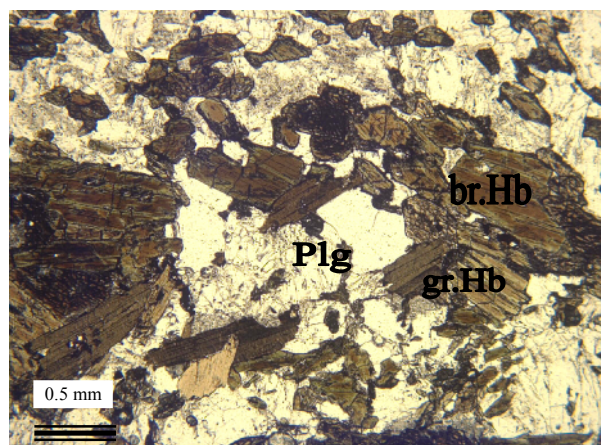


ادامه‌ی نمودار ۱ (ب) ترکیب آمفیبولهای سنگ میزان و برونبوم کوارتز آمفیبولیتی (نمونه ۷۶۵)، در نمودار [۸] $Mg/(Mg+Fe^{2+})$ در برابر TSi و [۹] $Fe/(Fe+Mg)$ در نمودار $Al^{IV}/(Al^{IV}+Fe^{3+})$ نسبت به (پ) ترکیب میکاهای موجود در آن‌ها در نمودار $Fe/(Fe+Mg)$ نسبت به $Al^{IV}/(Al^{IV}+Fe^{3+})$.

الف

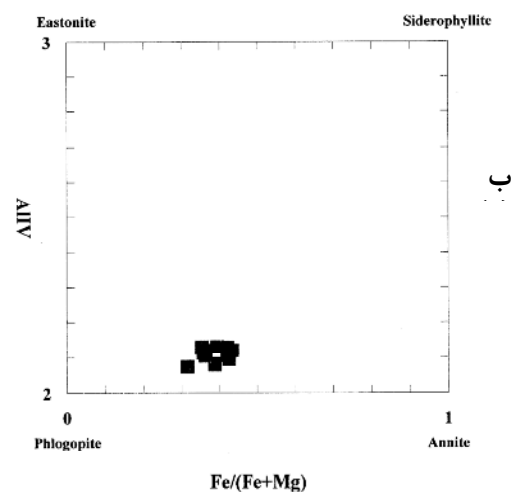
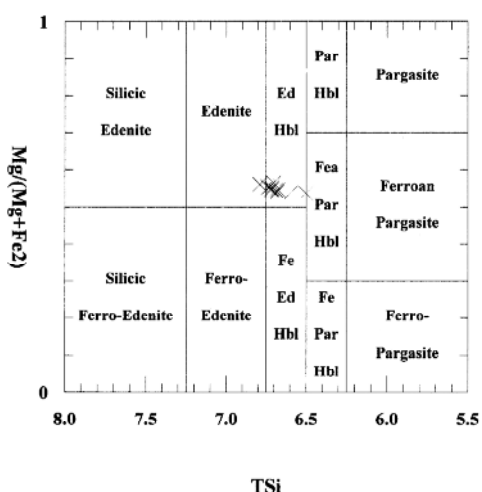


ب

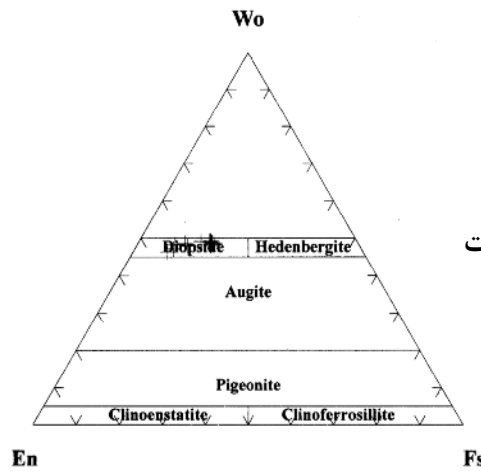
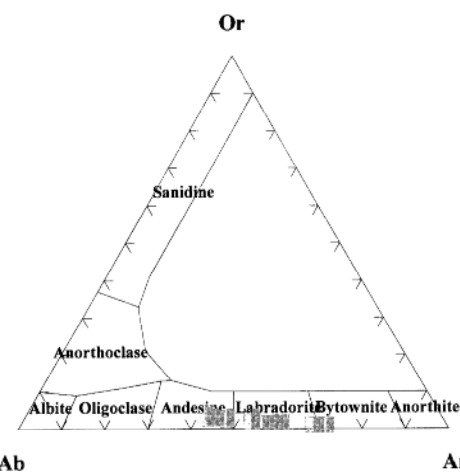


تصویر ۳ هورنبلندهای قهوه‌ای (br.Hbl) که در بخش کناری به هورنبلند سبز (gr.Hbl) تبدیل شده و پلاژیوکلاز دو تشکیل دهنده اصلی برونبوم‌های آمفیبولیتی (PPL).

الف



پ



نمودار ۲ (الف) ترکیب آمفیبولهای موجود در برونبوم پیروکسن آمفیبولیتی (نمونه ۷۵۸)، در نمودار Tsi $Mg/(Mg+Fe^{2+})$ نسبت به At^IV نمودار $Fe/(Fe+Mg)$ نسبت به (ب) ترکیب پلاژیوکلازهای آن در نمودار $Or-Ab-An$ و (پ) ترکیب کلینوپیروکسن‌های آن در نمودار $Ca-Mg-Fe Cpx-En-Fs-Wo$ [۱۰].

۵- در فرمول ساختاری هورنبلندها، بایستی تعداد کاتیون‌های آن $\text{Si} \leq 7.5$ و $\text{Ca} \geq 1.5$ باشد [۱۷].

تا کنون روش‌های زیادی برای محاسبه‌ی فشار، با استفاده از ترکیب هورنبلندها، ارائه شده است [۱۱، ۱۷، ۲۰-۲۳]. در تمام روش‌های یادشده، به استثنای [۲۴]، فشار بر اساس مقدار Al موجود در هورنبلندها و بدون در نظر گرفتن پارامترهای دیگری نظریه دما، به دست می‌آید. دما سنج آمفیبیول-پلاژیوکلاز ارائه شده توسط [۲۴، ۱۶] بر اساس تعداد Si و کاتیون‌های Al در موقعیت‌های تتراندرا آمفیبیول چهار وجهی، کنترل می‌شود.

زمین فشار سنجی بر اساس مقدار آلومینیوم موجود در هورنبلندها

بررسی‌های تجربی، گویای آن است که ترکیب آمفیبیول، علاوه بر فشار به دما، گریزندگی اکسیژن، ترکیب کل و فازهای همزیست وابسته است [۱۷]. با در نظر گرفتن پارامترهای یاد شده و به خصوص مقدار Al_{Total} آمفیبیول، تا کنون فرمول‌های زیادی توسط پژوهشگران یاد شده، برای محاسبه‌ی فشار ارائه شد که قابل قبول ترین آن‌ها [۶] است. بنابراین، با استفاده از

زمین فشار سنج، فشار از رابطه زیر به دست می‌آید:

$$P = -3.01 + 4.76 \text{ Al}_{\text{Total}} [\pm 0.6 \text{ Kbar}]$$

در این فرمول، P، فشار بر حسب کیلوبار و Al_{Total} ، میزان آلومینیوم کل در ترکیب آمفیبیول است. لازم به یادآوری که اندازه‌گیری فشار از این روش، بالاترین مقدار را نسبت به روش-

های دیگر نشان می‌دهد [۲۵].

به طور کلی هورنبلندهایی که در شرایط گریزندگی بالای اکسیژن متبلور شده‌اند، نسبت به هورنبلندهای تبلور یافته در شرایط گریزندگی پائین اکسیژن، نتایج مطمئن‌تر و بهتری را برای زمین دما- فشار سنجی نشان می‌دهد [۱۷]. فراوانی مانیتیت و ایلمنیت در جدول ۱ و ۲ به ترتیب داده‌های آنالیز نقطه‌ای آمفیبیول‌های وابسته به داسیت و برونبوم‌های آمفیبیولیتی و در

جدول ۳ فشار محاسبه شده از [۷] ارائه شده‌اند.

زمین دما‌سنجی

برای محاسبه‌ی دما، نمونه‌های مورد بررسی، فرمول [۶] مورد استفاده قرار گرفته است (جدول ۲). نامبردها در راستای ارزیابی ارتباطهای ممکن بین فشار، دما و ترکیب شیمیائی فرمول زیر را برای اندازه‌گیری دما مطرح کردند:

$$T = 25.3P + 654.9$$

زمین دما- فشارسنگی

آمفیبیول‌ها، سیلیکات‌های زنجیره‌ای مضاعفی را تشکیل می‌دهند که از نظر ترکیب شیمیائی و ساختار کانی‌شناسی، دارای تنوع قابل ملاحظه‌ای هستند [۱۵]. تنوع ترکیب شیمیائی و ساختاری، سبب می‌شود که آن‌ها قادر باشند در گستره وسیعی از انواع سنگ‌ها، با شرایط مختلف دما و فشار، تشکیل شوند. آمفیبیول‌ها تقریباً در تمامی سنگ‌های آذرین فلزیک، حد واسطه و مافیک و در گستره وسیعی از دما (1150°C -۴۰۰) و فشار (۲۳Kb-۱) حضور دارند [۱۶]. مقدار $\text{Ti}, \text{Ca}, \text{Na}$ موجود در ترکیب آمفیبیول،تابع فشار، دما و Al گریزندگی اکسیژن است. همچنین کاتیون‌های مثل Ti ، Al کل و Al موقعیت‌های چهاروجهی، نسبت به دما حساس‌اند به-طوری که افزایش دما، سبب افزایش مقدار Ti و نیز افزایش میزان Al^{IV} می‌شود [۱۷]. معمولاً به ازای هر ۱۰۰ درجه افزایش دما، تقریباً 0.3% کاتیون به میزان Al^{IV} افزوده می‌شود [۱۷]. برخلاف Al^{IV} ، میزان Al^{VI} مناسب با افزایش فشار، زیاد شده و دما، تأثیری بر آن ندارد. محاسبه‌ی مقدار Al^{VI} و Al_{Total} ، مبنای اندازه‌گیری فشار با استفاده از ترکیب آمفیبیول است؛ زیرا مقدار Al در آمفیبیول، تابع غلظت آن در ماقمای مادر نبوده، بلکه تابع فشار حاکم در زمان تبلور آن است. مقدار Si در آمفیبیول، تابع مقدار آن در ماقمایت و دما و فشار بر آن تأثیری ندارد [۱۷].

برای محاسبه‌ی فشار و دما، با استفاده از ترکیب آمفیبیول، لازم است نمونه‌ها دارای ویژگی‌های زیر باشند:

۱- دارای مجموعه‌ای همزیست از کانی‌های کوارتز، فلدسپار قلیایی، پلاژیوکلاز، هورنبلندها، بیوتیت، مانیتیت و ایلمنیت باشند [۱۸].

۲- گریزندگی اکسیژن، نسبتاً بالا بوده و رابطه $\text{Mg}^{+2}/\text{Fe}_{\text{Total}}/\text{Fe}_{\text{Total}}$ در آمفیبیول‌ها صدق کند. برای تشخیص آن، بهتر است از پاراژنر کانی‌ها استفاده شود [۱۸].

۳- در برآوردها، بایستی از آمفیبیول‌هایی که ترکیب اکتینولیتی دارند چشم پوشی کرد؛ زیرا ممکن است این کانی در فاز زیر نقطه انجماد و در اثر دگرسانی، تولید پیروکسن و هورنبلنده نماید [۱۹].

۴- هورنبلندها باید قادر منطقه‌بندی و نیز نادگرسان باشند [۱۹، ۱۸].

نداشته باشد [۱۹].

بر اساس واکنش ادنیت- ترمولیت، فرمول زیر برای دماسنجدی آمفیبیول- پلازیوکلاز ارائه شده است [۲۶]. این دماسنجد در سنگ‌های آذرین فلزیک و حد واسطی که دارای Si_{7.8} کوارتز، پلازیوکلاز با < An٪ ۹۲ و آمفیبیول‌های با ۵۰۰ تا ۱۱۰۰ درجه‌ی سانتیگراد، همسنجی شده است [۲۶]:

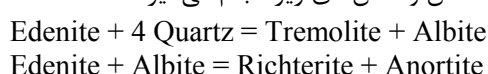
$$T [\pm 311^{\circ}\text{K}] = 0.667 P[\text{Kbar}] - 48.98 + Y_{\text{Ab}} / 0.0429 - 0.0083144 \ln\{(Si - 4) / (8-Si)X_{\text{Ab}}\}$$

در این رابطه، T دمای تعادلی بر حسب درجه‌ی کلوین، P فشار بر حسب کیلوبار، Si تعداد کاتیون‌های سیلیس در فرمول ساختاری آمفیبیول، X_{Ab} مقدار درصد آلبیت در پلازیوکلاز است. مقدار Y_{Ab} از روابط زیر محاسبه می‌شود:

$$\begin{aligned} X_{\text{Ab}} > 0.5 &\rightarrow Y_{\text{Ab}} = 0 \\ X_{\text{Ab}} < 0.5 &\rightarrow Y_{\text{Ab}} = 8.06 + 25.5(1-X_{\text{Ab}})^2 \end{aligned}$$

در این رابطه، دما، بر حسب درجه‌ی سانتیگراد و فشار، بر حسب کیلوبار اندازه‌گیری می‌شوند. روش دیگر دماسنجدی استفاده از ترکیب هورنبلن و پلازیوکلاز است. هر چند هنوز تردیدهایی در مورد روش دماسنجدی هورنبلن- پلازیوکلاز وجود دارد، ولی، فعلایکی از روش‌های رایج برای دماسنجدی سنگ‌های آهکی- قلیایی به حساب می‌آید [۱۸]. برای محاسبه‌ی دما، با این روش، بایستی زوج درشت بلورهای آمفیبیول کلسیم‌دار و پلازیوکلاز به صورت همزیست بوده و آمفیبیول‌ها، قادر حاشیه‌ی اکتینولیتی باشند [۱۹].

این روش زمین دماسنجدی، با یک زمین دماسنجد تبادلی کار می‌کند که بر اساس واکنش‌های زیر انجام می‌گیرد [۱۹]:



واکنش اول در شرایطی است که سنگ، دارای کوارتز باشد و واکنش دوم مربوط به شرایطی است که در سنگ کوارتز وجود

جدول ۳ فشار و دمای محاسبه شده برای آمفیبیول‌های موجود در داسیت مارکوه و برونبوم‌های آمفیبیولیتی آن.

شماره نمونه	نوع سنگ	نقاط تجزیه شده	فشار (Kbar) بر پایه [۷]	دما (°C) بر پایه [۶]
۷۶۵	برونبوم آمفیبیولیتی	(مرکز قهوه‌ای) hbl۱	۶,۹۶۲۲	۸۳۱,۰۴۳۶۶
۷۶۵	برونبوم آمفیبیولیتی	(مرکز قهوه‌ای) hbl۲	۶,۷۳۳۷۲	۸۲۵,۲۶۳۱۱
۷۶۵	برونبوم آمفیبیولیتی	(مرکز قهوه‌ای) hbl۳	۶,۳۳۳۸۸	۸۱۵,۱۴۷۱۶
۷۶۵	برونبوم آمفیبیولیتی	(کناره سبز) hbl۴	۵,۹۲۹۲۸	۸۰۴,۹۱۰۷۸
۷۶۵	برونبوم آمفیبیولیتی	(مرکز قهوه‌ای) hbl۵	۶,۴۹۵۷۲	۸۱۹,۲۴۱۷۱
۷۶۵	برونبوم آمفیبیولیتی	(کناره سبز) hbl۶	۶,۲۰۰۶	۸۱۱,۷۷۵۱۸
۷۶۵	برونبوم آمفیبیولیتی	(مرکز قهوه‌ای) hbl۷	۶,۴۸۱۴۴	۸۱۸,۸۸۰۴۳
۷۶۵	برونبوم آمفیبیولیتی	(مرکز قهوه‌ای) hbl۸	۶,۳۲۹۱۲	۸۱۵,۰۲۶۷۳
۷۶۵	برونبوم آمفیبیولیتی	(کناره سبز) hbl۹	۶,۲۰۵۳۶	۸۱۱,۸۹۵۶
۷۶۵	برونبوم آمفیبیولیتی	(مرکز قهوه‌ای) hbl۱۰	۷,۰۸۱۲	۸۳۴,۰۵۴۲۶
۷۶۵	برونبوم آمفیبیولیتی	(مرکز قهوه‌ای) hbl۱۱	۶,۹۹۰۷۶	۸۳۱,۷۶۶۲۲
۷۶۵	برونبوم آمفیبیولیتی	(مرکز قهوه‌ای) hbl۱۲	۴,۸۳۴۴۸	۷۷۷,۲۱۲۳۴
۷۶۵	برونبوم آمفیبیولیتی	(مرکز قهوه‌ای) hbl۱۳	۵,۳۸۶۶۴	۷۹۱,۱۸۱۹۹
۷۶۵	برونبوم آمفیبیولیتی	(مرکز قهوه‌ای) hbl۱۴	۷,۵۰۴۸۴	۸۴۴,۷۷۲۴۵
۷۶۵	برونبوم آمفیبیولیتی	(مرکز قهوه‌ای) hbl۱۵	۷,۳۶۲۰۴	۸۴۱,۱۵۹۶۱
۷۶۵	برونبوم آمفیبیولیتی	(کناره سبز) hbl۱۶	۶,۴۲۴۳۲	۸۱۷,۴۳۵۲۹
۷۶۵	برونبوم آمفیبیولیتی	(مرکز قهوه‌ای) hbl۱۷	۶,۰۷۶۸۴	۸۰۸,۶۴۴۰۵
۷۶۵	داسیت	(کناره) hbl۱۸	۵,۵۸۶۵۶	۷۹۶,۲۳۹۹۶
۷۶۵	داسیت	(مرکز) hbl۱۹	۵,۲۸۱۹۲	۷۸۸,۵۳۲۵۷
۷۶۵	داسیت	(مرکز) hbl۲۰	۵,۱۱۵۳۲	۷۸۴,۳۱۷۸۹
۷۶۵	داسیت	(کناره) hbl۲۱	۵,۱۱۰۵۶۲	۷۸۴,۱۹۷۱۶
۷۶۵	داسیت	(مرکز) hbl۲۲	۵,۴۳۴۲۴	۷۹۲,۳۸۶۲۷
۷۶۵	داسیت	(مرکز) hbl۲۳	۵,۸۸۱۶۸	۸۰۳,۷۰۶۵

بهشتی، دانشکده علوم زمین، گروه زمین شناسی (۱۳۸۸)، ۲۸۶ صفحه.

[۳] یوسف زاده م.ح، "سنگ شناسی و ژئوشیمی سنگ‌های آتشفسانی ترشیری شمال و غرب بیرجند و شناسائی برونبوم های آن"، مجله بلورشناسی و کانی‌شناسی ایران، شماره ۲ (۱۳۸۸) ص ۲۱۳-۲۳۰.

[۴] Tirrule R., Bell L.R., Griffis R.J., Camp V.E., "The Sistan Suture Zone of eastern Iran", G. S. A. Bulletin, Vol. 84 (1983) pp. 134-150.

[۵] Didier J., Barbarin B., "Enclaves and granite petrology", Elsevier science publishers (1991), 625p.

[۶] Vynhal C.R., McSween H.Y., Jr., "Hornblende chemistry in southern Appalachian granitoids Implications for aluminum hornblende thermobarometry and magmatic epidote stability", Am. Mineral. 76 (1991) 176-188.

[۷] Schmidt M.W., "Amphibole composition in tonalite as a function of pressure: an experimental calibration of the Al-in hornblende barometer", Contrib Mineral Petrol 110 (1992) 304-310.

[۸] Leake B.E., et al., "Nomenclature of amphiboles of the subcommittee on amphiboles of the international mineralogical association commission on new minerals and mineral names", European Journal of MineralOGY 9 (1997) 623-651.

[۹] Rieder M., Cavazzini G., D'yakonov Y., Frank-Kamenetskii V.A., Gottardi G., Guggenheim S., Koval P.V., Muller G., Neiva A.M.R., Radoslovich E., Robert J.L., Sassi F.P., Takeda H., Weiss Z., Wones D., "Nomenclature of the micas", The Canadian Mineralogist 36 (1998), x-xx.

[۱۰] Morimoto N., "Nomenclature of pyroxenes", Mineralogical Magazine, 52 (1988) 535-550.

[۱۱] معین وزیری ح، "پترولوزی سنگ‌های دگرگونی"، انتشارات دانشگاه تربیت معلم (۱۳۷۷)، ۳۳۶ صفحه.

[۱۲] Binns R. A., "Metamorphic pyroxenes from the Broken Hill district, New South Wales", Mineralogical Magazine, 33 (1962) 320-338.

[۱۳] Binns R. A., "The mineralogy of metamorphosed basic rocks from the Willyama complex, Broken Hill district, New South Wales", Mineralogical Magazine, 35, (1965) 306-326,269-284.

[۱۴] Spear F. S., "An experimental study oh hornblende stability and compositional variability in amphibolite", American Journal of Science, 281 (1981) 697-734.

برداشت

بررسی‌های انجام شده گویای تفاوت کانی‌شناسی، بافتی و شیمی کانی داسیت مارکوه و برونبوم‌های آمفیبولیتی آن است. از جمله این تفاوت‌ها می‌توان به تفاوت شیمی کانی و سمتگیری هورنبلندهای قهقهه‌ای در برونبوم اشاره کرد که گویای شرایط تشکیل متفاوت آن با هورنبلندهای سبز سنگ میزبان است. در این راستا فشار محاسبه شده برای هورنبلندهای سبز موجود در داسیت، بر اساس [۷]، در حدود ۲۳۵۲ Km-۶ Kbar به دست می‌آید که حکایت از اعماق ۷۸۴-۲۰/۴۴ دارد. بنابر روش [۶] دمای در حدود ۲۰-۳۰ °C برای تشکیل آن‌ها برآورد می‌شود. فشار برآورد شده برای تشکیل آمفیبول‌های برونبوم‌های آمفیبولیتی موجود در این داسیت، برابر Kbar ۷/۵-۵ است که با اعماق ۷۷۷-۸۴۵ °C به دست برآش دارد. دمای تشکیل آن‌ها حدود ۲۰-۳۰ Km در این داسیت، برابر Kbar ۷/۵ است که با اعماق ۷۷۷-۸۴۵ °C به دست آمده است. ارقام محاسبه شده نشان می‌دهد که بالاترین دمای تشکیل به هسته‌ی قهقهه‌ای رنگ هورنبلندهای برونبوم و کمترین آن به حاشیه‌ی سبز رنگ آن‌ها و هورنبلندهای سبز سنگ میزبان وابسته است. دلیل آن این است که هورنبلندهای سبز و پلازیوکلازهای سدیم دارتر موجود در برونبوم در رخساره‌ی آمفیبولیت و هورنبلندهای قهقهه‌ای، پلازیوکلازهای کلسیم‌دارتر و کلینوپیروکسن آن‌ها در مرز دگرگونی رخساره‌های آمفیبولیت و گرانولیت و اوایل رخساره اخیر تشکیل شده‌اند. شرایط تبدیل دوباره بخش‌های کناری هورنبلندهای قهقهه‌ای به هورنبلند سبز پس سقوط برونبوم‌ها به داخل مagma حاصل شده است؛ جائی که هورنبلندهای سبز سنگ میزبان نیز در حال تشکیل بوده است. بنابراین تبدیل اخیر یک دگرگونی پسروندۀ محسوب می‌شود. با این توضیحات واضح است که برونبوم‌ها هیچ ارتباط ژنتیکی اولیه‌ای با سنگ میزبان نداشته‌اند؛ هر چند امکان دارد بعداً آلدگی‌هایی را بر روی magma ایجاد کرده باشند.

مراجع

- [۱] مؤسسه جغرافیائی و کارتوگرافی گیتاشناسی، "نقشه راههای ایران" (۱۳۸۴).
- [۲] یوسف زاده م.ح، "پتروگرافی، ژئوشیمی و پتروزنز سنگ‌های آتشفسانی ترشیری منطقه بیرجند- خوسف با نگرشی ویژه بر انکلاوهای موجود در آن"، رساله دکتری، دانشگاه شهید

- [21] Johnson M.C., Malcolm J. Rutherford., "Experimental calibration of the aluminum-in-hornblende geobarometer with application to Long Valley caldera (California) volcanic rocks", *Geology* 17 (1989) 837-841.
- [22] Poli S., Schmidt M.W., "A comment on Calcic-amphibole-plagioclase equilibria and a new amphibole-plagioclase geothermometer by Blundy, J.D., and Holland T.J.B.", *Contribution to Mineralogy and Petrology* 111 (1992) 273-282.
- [23] Anderson J.L., Smith D.R., "The effects of temperature and fO_2 on the Al-in hornblende barometer", *American Mineralogist* 80 (1995) 549-559.
- [24] Holland T., Blundy J., "Non-ideal interactions in calcic amphiboles and their bearing on amphibole-plagioclase thermometry", *Contributions to Mineralogy and Petrology* 116 (1994) 433-447.
- [25] Jarrar G., "Mineral chemistry in dioritic hornblendites from Wadi Araba, southwest Jordan", *J. of African Earth Science* 26 (1998) 285-295.
- [26] Blundy J.D., Holland T.J.B., "Calcic amphibole equilibria and a new amphibole-plagioclase geothermometer-reply to the comment of Poli and Schmidt", *Contribution to Mineralogy and Petrology* 111 (1992) 278-282.
- [15] Esawi E.K., "AMPH-CLASS: An excel spreadsheet for the classification and nomenclature of amphibole based on the 1997 recommendations of the international mineralogical Association", *Computers Geosciences*, 30 (2004) 753-760.
- [16] Blundy J.D., Holland T.J.B., "Calcic amphibole equilibria and a new amphibole-plagioclase geothermometer", *Contrib Mineral Petrol* 104 (1990) 208-224.
- [17] Hammarstrom Jane.M., E-AN Zen., "Aluminum in hornblende: An empirical igneous geobarometer", *American Mineralogist* 71 (1986) 1297-1313.
- [18] Stein E.M., Dietl C., "Hornblende thermometry of granitoids from the central Odenwald Germany and their implications for the geotectonic development of the Odenwald", *Mineralogy and Petrology* 72 (2001) 185-207.
- [19] Helmy H.M., Ahmed A.F., El Mahallawi M.M., Ali S.M., "Pressure, temperature and oxygen fugacity conditions of calc-alkaline granitoids, Eastern Desert of Egypt, and tectonic implications", *Journal of African Earth Science* 38 (2004) 255-268.
- [20] Hollister L.S., et al., "Confirmation of the empirical correlation of Al in hornblende with pressure of solidification of calc-alkaline plutons", *American Mineralogists* 72 (1987) 231-239.